



การประชุมวิชาการ

เครือข่ายพลังงานแห่งประเทศไทยครั้งที่ 13

13TH CONFERENCE ON ENERGY NETWORK OF THAILAND

“ Sustainable Energy Development for Community and Innovation ”

31 พ.ค. - 2 มิ.ย. 2560 ณ โรงแรม ดิเอ็มเพรส เชียงใหม่



MAEJO
GO Eco
UNIVERSITY

กำหนดการ

- ส่งบทความวิจัยฉบับสมบูรณ์
- ตอบรับบทความวิจัยฉบับสมบูรณ์
- ส่งบทความวิจัยฉบับสมบูรณ์ (แก้ไข)
- ลงทะเบียนล่วงหน้า
- จัดงานประชุม E-NETT 13

- ก่อน วันที่ 17 เมษายน 2560
- วันที่ 30 เมษายน 2560
- ก่อน วันที่ 12 พฤษภาคม 2560
- วันที่ 1-26 พฤษภาคม 2560
- วันที่ 31 พฤษภาคม - 2 มิถุนายน 2560

จัดการประชุมโดย : วิทยาลัยพัฒนาภาคกลาง มหาวิทยาลัยแม่โจ้ ร่วมกับ มหาวิทยาลัยเทคโนโลยีราชมงคลเชียงใหม่

วันที่ 1 มิถุนายน 2560

ห้อง Ballroom

Session 3

ประธานการนำเสนอทความ ผศ.ดร.วิบูลย์ ช่างเรือ

10.45 น. CE-198	การวิเคราะห์และจำลองชุดควบคุมการประจุไฟฟ้าแบบสมาร์ท สำหรับแบตเตอรี่ในระบบไฟฟ้าเซลล์แสงอาทิตย์	ยุทธพงษ์ ทองช่วง บริพัฒน์ ออมรพิทักษ์วัฒนา และ บุญยัง ปลื้งกลาง มนพล นาวนะ และพงใจ พิชัยอนุตระตน์
11.00 น. CE-199	การจำลองการทำงานของวงจรอินเวอร์เตอร์ขอร์เชอร์บิดจ์หลาย ระดับสำหรับระบบผลิตพลังงานไฟฟ้าจากแสงอาทิตย์โดยใช้การ มอดูลเลตแบบ PD-PWM และ PS-PWM	พิริพัฒน์ อาทิตย์ตั้ง องอาจ ทับบุรี และ วรรษกร สุปิงคลัด กันยาธัตัน เอกอี้ยม และ ภูมิรินทร์ ทวีชรี
11.15 น. CE-202	วิธีการลดการสูญเสียจากการสวิตช์ของตัวเรียงกระแสสองระดับ ชนิดทิศทางเดียวแบบเดลต้าบันพื้นฐานวิธีการมอดูลเลตเชิงสเป ซเจกเตอร์	พิริพัฒน์ อาทิตย์ตั้ง องอาจ ทับบุรี และ วรรษกร สุปิงคลัด กันยาธัตัน เอกอี้ยม และ ภูมิรินทร์ ทวีชรี
11.30 น. CE-204	วิธีการสร้างสัญญาณขั้นนำสวิตช์แบบไม่ต่อเนื่องบนฐานการมอดู เลตเชิงสเปซเจกเตอร์ เพื่อลดการสูญเสียจากการสวิตช์ของสวิตช์ กำลังสำหรับอินเวอร์เตอร์สามระดับชนิดตรึงจุดนิวทรัล	ประดิษฐ์ นิลรัตน์ และธงชัย มณีชูเกตุ
11.45 น. CE-210	ระบบขยายความร้อน สำหรับ RGB และอีดีกำลังงานสูงด้วย การใช้ เทอร์โมอิเล็กทริกร่วมกับระบบขยายความร้อนด้วยน้ำ แบบวงปีด	ประดิษฐ์ นิลรัตน์ และธงชัย มณีชูเกตุ

Session 4

ประธานการนำเสนอทความ ดร.มุสตา法่า ยะภา

13.00 น. CE-211	อุปกรณ์ตรวจสอบสมรรถนะการทำความเย็นเบื้องต้นโดย พิจารณาคุณสมบัติของสารทำความเย็น ชนิด R22 ของ เครื่องปรับอากาศแบบแยกส่วน และชนิด R134a ของ เครื่องปรับอากาศในรถยนต์	นเรศ สยามโรจน์ นกเบศร์ หนูใส เพ็ชร ณัฐ สงคราม สรัสล หน่อทิม วรรัตน์ สมคำปา และ อนุพงศ์ ประจำจันทร์
13.15 น. CE-214	การวิเคราะห์สัญญาณเวลาที่เครื่องรับสัญญาณ GNSS กับ สัญญาณเวลาระบบ	ปฏิริ ภูริราวนิชย์กุล พระชนิค มูลอักษร ทยาทิพย์ ทองตัน และ เฉลิมชันม์ สถิรพจน์ ธเนศ ศรีพรหมพุฒิพงษ์ เนื้อุษา เอกชัย ขัยดี และอนันท์ นำอิน
13.30 น. CE-229	การออกแบบและสร้างอินเวอร์เตอร์รูปคลื่นไอน์ฟ์ความถี่สูงโดยใช้ เทคนิคคุณโน飘าเอสพีดับบลิวเอ็ม สำหรับวงจรส่งกำลังไฟฟ้าไร้ สาย	จตุพงษ์ ลีสายทอง ณัฐสิทธิ์ เชื้อเมืองพาณ เอกชัย ขัยดี และอนันท์ นำอิน ชนกันันท์ หนองรันดร์พงศ์ สุทธิพงศ์ บุญทากลาง และ เชาว์ ชุมภูอินไหว วัทัญญู มีศรีสุข และ อนุวัฒน์ จางนิชเลิศ
13.45 น. CE-230	การวิเคราะห์จุดกำลังงานสูงสุดของระบบส่งกำลังไฟฟ้าไร้สาย เมื่อมีการเปลี่ยนแปลงระยะสั้ง	จตุพงษ์ ลีสายทอง ณัฐสิทธิ์ เชื้อเมืองพาณ เอกชัย ขัยดี และอนันท์ นำอิน ชนกันันท์ หนองรันดร์พงศ์ สุทธิพงศ์ บุญทากลาง และ เชาว์ ชุมภูอินไหว วัทัญญู มีศรีสุข และ อนุวัฒน์ จางนิชเลิศ
14.00 น. CE-231	ต้นแบบเครื่องวัดค่าความต้านทานการต่อลงทินแบบแคลมป์ด้วย บอร์ดไมโครคอนโทรลเลอร์ Arduino	บัญชา หิรัญสิงห์ สุภกิต อัจฉริyanich ธนาวัฒน์ เก่งชา เนตร วัทัญญู มีศรีสุข และ อนุวัฒน์ จางนิชเลิศ
14.15 น. CE-245	วงจรแปลงผันกำลังงานไฟฟ้ากระแสตรงเป็นไฟฟ้ากระแสตรงแบบ เรโซแนนซ์อนุกรมโดยใช้การต่อหม้อแปลงไฟฟ้าแบบอนุกรมด้าน ทุติยภูมิ	บัญชา หิรัญสิงห์ สุภกิต อัจฉริyanich ธนาวัฒน์ เก่งชา เนตร วัทัญญู มีศรีสุข และ อนุวัฒน์ จางนิชเลิศ
14.30 น. CE-246	เครื่องทำความสะอาดแผงวงจรรีเล็กทรอนิกส์แบบคลื่นอัคติร้าไซ นิคพร้อมการให้ความร้อนแบบเหนี่ยวนำ	บัญชา หิรัญสิงห์ สุภกิต อัจฉริyanich ธนาวัฒน์ เก่งชา เนตร วัทัญญู มีศรีสุข และ อนุวัฒน์ จางนิชเลิศ
14.45 น. CE-262	การเปรียบเทียบสมรรถนะไดโอดแคลมป์และฟลายอิงคาป่าชิ เตอร์ในอินเวอร์เตอร์ 5 ระดับ ด้วยเทคนิคพีดับบลิวเอ็มแบบเดือน ระดับหลายแคเรียร์	ล. 0. 80%

การเปรียบเทียบสมรรถนะไดโอดแคลมป์และฟลายอิงคากาป้าชีเตอร์ในอินเวอร์เตอร์ ๕ ระดับ
ด้วยเทคนิคพีดับบลิวเอ็มแบบเลื่อนระดับหลามัยแครีเยอร์

Performance Comparison Diode-clamped and Flying-capacitor in Five-level Inverter
With Level-shift Multi-carrier PWM Schemes Technique

สิติปณิ พากุสกูล^{1,*}, สุรศิทธิ ประกอบกิจ² และ ราดา คำแดง¹

¹ สาขาวิชาเทคโนโลยีอุตสาหกรรม คณะเทคโนโลยีอุตสาหกรรม มหาวิทยาลัยราชภัฏเทพสตรี 321 ต.ท่าศาลา อ.เมือง จ.เพชรบุรี 15000

² สาขาวิชากิจกรรมไฟฟ้า คณะวิศวกรรมศาสตร์ มหาวิทยาลัยเทคโนโลยีราชมงคลพระนคร

1381 ถนนประชาธิรักษ์ 1 แขวงวงศ์สว่าง เขตบางซื่อ กรุงเทพมหานคร 10800

*โทรศัพท์ 081-4005018 E-mail: satitporn123g@gmail.com

บทคัดย่อ

บทความนี้นำเสนอการเปรียบเทียบสมรรถนะไดโอดแคลมป์และฟลายอิงคากาป้าชีเตอร์ในอินเวอร์เตอร์ ๕ ระดับด้วยเทคนิคพีดับบลิวเอ็มแบบเลื่อนระดับหลามัยแครีเยอร์ชนิดเฟลต์ทรังกัน โดยทำการศึกษาเปรียบเทียบต้านคุณภาพของแรงดันขาออกที่ได้ และความสามารถในการสมดุลพลังงานที่ตัวเก็บประจุ โดยได้นำเสนอเป็นการจำลอง ซึ่งผลที่ได้เพื่อเป็นข้อมูลสนับสนุนสำหรับการศึกษาอินเวอร์เตอร์หลามัยระดับต่อไป

คำหลัก: ไดโอดแคลมป์, ฟลายอิงคากาป้าชีเตอร์, พีดับบลิวเอ็ม

Abstract

This paper proposes performance comparison Diode-clamped and Flying-capacitor in Five-level Inverter with Level-shift Multi-carrier PWM Schemes Technique. Chooses modulation control strategies is multilevel sinusoidal pulse width modulation (SPWM). The comparison focuses on output voltage THDv and capacitor voltage balancing. The results of the comparison will be used to aid the design of multi-level inverter in the future.

Keywords: Diode-clamped, Flying-capacitor, SPWM.

1. บทนำ

อินเวอร์เตอร์หลามัยระดับ (Multilevel inverter) [1] ได้ถูกนำมาประยุกต์ใช้กับอุปกรณ์ขับกระแสสลับ (AC Drive) กำลังสูงในอุตสาหกรรมเพื่อทำหน้าที่แทนวงจรขับกระแสสลับแบบ 2 ระดับ (Two-level inverter) ด้วยคุณสมบัติที่ดีที่สุด ประการ ทำให้อินเวอร์เตอร์หลามัยระดับนี้ได้รับความสนใจใน การศึกษาและวิจัยอย่างต่อเนื่อง วงจรพื้นฐานของอินเวอร์เตอร์หลามัยระดับที่ได้รับความสนใจเป็นอย่างมากนี้มีด้วยกัน 3 ชนิด คือ อินเวอร์เตอร์ไดโอดแคลมป์ (DCI) อินเวอร์เตอร์คากาป้าสเคเดมัลติเชลล์ (CMI) และอินเวอร์เตอร์ฟลายอิงคากาป้าชีเตอร์ (FCI) [2] หากมองในแง่ของการนำไปใช้งานกับอินเวอร์เตอร์ขั้นบmoode กระกระแสสลับได้เงินนั้น อินเวอร์เตอร์ที่มีแหล่งจ่ายด้วยลิงค์ (DC link) เพียงแหล่งเดียวคือ อินเวอร์เตอร์แบบ DCI และแบบ FCI ทางกลุ่มผู้วิจัยจึงได้เลือกวิจารณ์อินเวอร์เตอร์ทั้ง 2 ชนิดมาทำการศึกษา ซึ่งงานวิจัยก่อนหน้า ได้จำลองการทำงานเพื่อเปรียบเทียบสมรรถนะระหว่างเทคนิคพีดับบลิวเอ็มแบบเลื่อน

เฟสและแบบเลื่อนระดับชั้นิดหลามัยแครีเยอร์สำหรับ อินเวอร์เตอร์หลามัยระดับชนิดฟลายอิงคากาป้าชีเตอร์ [3-5] ส่วน บทความนี้ได้นำเสนอผลการจำลองโดยทำการศึกษา เปรียบเทียบต้านคุณภาพของแรงดันด้านขาออกที่ได้ ความสามารถในการรักษาสมดุลพลังงานที่ตัวเก็บประจุ ระหว่างอินเวอร์เตอร์แบบ DCI และแบบ FCI

2. โครงสร้างของอินเวอร์เตอร์

2.1 ฟลายอิงคากาป้าชีเตอร์อินเวอร์เตอร์

โครงสร้างของอินเวอร์เตอร์หลามัยระดับชนิดฟลายอิงคากาป้าชีเตอร์ หรือเรียกว่า คากาป้าชีเตอร์แคลมป์ แสดงดังรูปที่ 1 ซึ่ง จะมีส่วนประกอบหลักด้วยกัน 2 ส่วน คือ ตัวเก็บประจุ และ อุปกรณ์สวิตช์กำลัง โดยตัวเก็บประจุจะนอกสุดเรียกว่า คอม มอนที่ชีลิงเป็นตัวละเอียดพลังงาน ขณะที่ตัวเก็บประจุตัวอื่นๆ เรียกว่า ตัวเก็บประจุฟลายอิงค์ เป็นตัวสร้างแรงดันระดับ ต่างกัน โดยแรงดันที่ได้ในแต่ละระดับ เกิดจากผลกระทบของ

แรงดันที่ตอกคร่อมที่ตัวเก็บประจุฟลายอิงค์เตอร์จะตัวเดียว ที่ต่ออนุกรมกันตามสถานะการสวิตช์นั้น ซึ่งแรงดันที่ตอกคร่อมตัวเก็บประจุ ฟลายอิงค์ในแต่ละตัว คือ 1E โดยอินเวอร์เตอร์ที่ศึกษาในบทความนี้เป็นอินเวอร์เตอร์ประเภท 5 ระดับ ($m = 5$) ซึ่งสมการของวงจรสามารถสรุปได้ดังนี้

$$SW = (m-1) \times 2 \quad (1)$$

$$C = \frac{(m-1) \times (m-2)}{2} \quad (2)$$

$$m = \frac{SW}{2} + 1 \quad (3)$$

เมื่อ SW คือ จำนวนสวิตช์กำลัง, Each

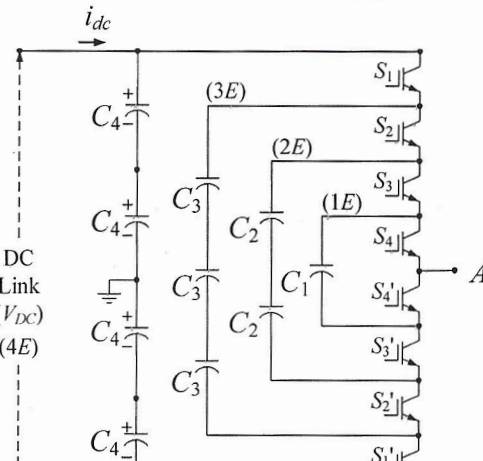
C คือ จำนวนตัวเก็บประจุที่ใช้, Each

m คือ ระดับแรงดัน, Level

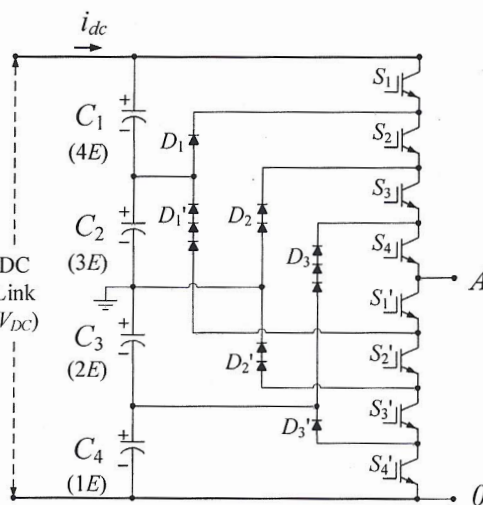
หากเลือกการขับเกตสวิตช์กำลังจำนวน 3 ตัวจากทั้งหมด 4 ตัวแรงดันทางด้านออกจะได้เท่ากับ 3 ใน 4 ของแรงดันดีซีลิงค์ หากเลือกการขับเกตสวิตช์กำลังจำนวน 1 ตัวจากทั้งหมด 4 ตัว แรงดันทางด้านออกจะได้เท่ากับ 1 ใน 4 ของแรงดันดีซีลิงค์ โดยรูปแบบการสวิตช์กำลังสามารถทำได้หลายรูปแบบ แล้วแต่ลักษณะการจัดเรียงสัญญาณแครี่รีร์ ซึ่งรูปแบบการสวิตช์กำลังจะทำให้เกิดแรงดันด้านออกที่มีคุณภาพสูงหรือต่ำได้ และยังมีผลต่อการรักษาระดับแรงดันที่ตัวเก็บประจุแบบฟลายอิงค์อีกด้วย

2.2. ไดโอดแคลมป์อินเวอร์เตอร์

โครงสร้างของอินเวอร์เตอร์หลากรายระดับไดโอดแคลมป์หรือเรียกว่า นิวทรัลพอยท์อินเวอร์เตอร์ แสดงทั้งรูปที่ 2 ซึ่งจะมีส่วนประกอบหลักด้วยกัน 2 ส่วน คือ ตัวเก็บประจุ ไดโอด และอุปกรณ์สวิตช์กำลัง โดยตัวเก็บประจุจะนองออกสุดเรียกว่า คอมมอนดีซีลิง เป็นตัวสะสมพลังงาน ซึ่งตัวเก็บประจุจะประกอบด้วยกัน 4 ตัว หรือ 4 ระดับแรงดัน โดยแรงดันที่ได้ในแต่ละระดับทางด้านออกจะเกิดจากเลือกรูปแบบการสวิตช์โดยกำหนดทิศทางการไหลของกระแสตัวยังไดโอดแคลมป์ ซึ่งแรงดันที่ตอกคร่อมตัวเก็บประจุแต่ละตัว คือ 1E เช่นกัน



รูปที่ 1 อินเวอร์เตอร์ 5 ระดับ ชนิดฟลายอิงค้าป่าชีเตอร์ 1 กิ่ง



รูปที่ 2 อินเวอร์เตอร์ 5 ระดับ ชนิดไดโอดแคลมป์ 1 กิ่ง

ผลรวมของแรงดันที่ตอกคร่อมที่ตัวเก็บประจุฟลายอิงค์แต่ละตัว ที่ต่ออนุกรมกันตามสถานะการสวิตช์นั้น ซึ่งแรงดันที่ตอกคร่อมตัวเก็บประจุฟลายอิงค์ในแต่ละตัว คือ 1E โดยอินเวอร์เตอร์ที่ศึกษาในบทความนี้เป็นอินเวอร์เตอร์ประเภท 5 ระดับ ($m = 5$) ซึ่งสมการของวงจรสามารถสรุปได้ดังนี้

$$SW = (m-1) \times 2 \quad (4)$$

$$C = (m-1) \quad (5)$$

$$m = \frac{SW}{2} + 1 \quad (6)$$

เมื่อ SW คือ จำนวนสวิตช์กำลัง, Each

C คือ จำนวนตัวเก็บประจุที่ใช้, Each

m คือ ระดับแรงดัน, Level

หากต้องการเลือกระดับแรงดันเท่ากับดีซีลิงค์ จะต้องเลือกการขับเกตสวิตช์กำลัง S1 ถึง S4 รวมทั้งหมด 4 ตัว (ด้าน High) หากต้องการแรงดันทางด้านออกจะได้เท่ากับ 1 ใน 4 ของแรงดันดีซีลิงค์ จะต้องเลือกการขับเกตสวิตช์กำลัง S4 เพียงตัวเดียว โดยรูปแบบการสวิตช์กำลังจะไม่สามารถทำได้หลายรูปแบบ ซึ่งทำให้มีข้อจำกัดในการจัดเรียงสัญญาณแคนเรียร์ ซึ่งรูปแบบการสวิตช์กำลังจะทำให้เกิดแรงดันด้านออกที่มีคุณภาพสูงหรือต่ำได้ และยังมีผลต่อการรักษาระดับแรงดันที่ตัวเก็บประจุอีกด้วย

3. เทคนิคการพื้นที่บล็อกวิเอ็ม

เทคนิคพื้นที่บล็อกวิเอ็มสำหรับอินเวอร์เตอร์หลายระดับนั้นสามารถทำได้ โดยอาศัยพื้นฐานการสร้างสัญญาณไฟต์บล็อกวิเอ็มของวงจรขั้บแบบ 2 ระดับ เพียงแต่จะเพิ่มจำนวนของแคนเรียร์ขึ้นตามจำนวนของสวิตช์กำลัง สำหรับในอินเวอร์เตอร์ 5 ระดับ จะใช้สวิตช์กำลังจำนวน 4 ตัว จึงใช้สัญญาณแคนเรียร์จำนวน 4 แคนเรียร์ ในการมีดัดแปลงเพื่อสร้างสัญญาณเกตในรูปที่ 3 ซึ่งเป็นตัวอย่างการสร้างสัญญาณเกตของเทคนิคการพื้นที่บล็อกวิเอ็มแบบเลื่อนระดับหลายแคนเรียร์ที่ใช้ในการศึกษาและเปรียบเทียบสมการที่เกี่ยวข้องกับเทคนิคการพื้นที่บล็อกวิเอ็ม

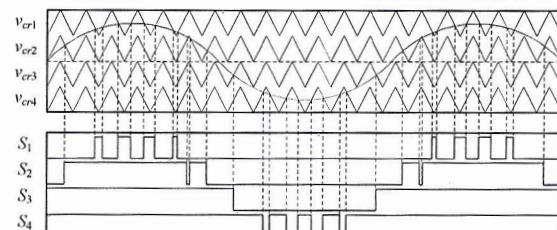
จากข้างต้นความถี่การสวิตช์ของอินเวอร์เตอร์ส่งผลโดยตรงต่อการปรากฏของประมาณหาระโนมิกส์ในแรงดันด้านออกของอินเวอร์เตอร์โดยจะปรากฏขึ้นรอบๆ m_f

$$m_a = \frac{V_m}{V_{cr}(m-1)} \quad \text{สำหรับ } 0 \leq m_a \leq 1 \quad (7)$$

$$f_{sw,dev} = \frac{f_{cr}}{(m-1)} \quad (8)$$

$$f_{sw,inv} = (m-1)f_{sw,dev} \quad (9)$$

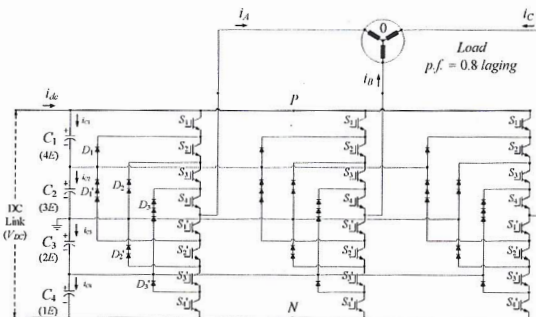
- เมื่อ f_m คือ ความถี่ของสัญญาณมูลฐาน, Hz
- f_{cr} คือ ความถี่ของสัญญาณพาหะ, Hz
- $f_{sw,dev}$ คือ ความถี่ของอุปกรณ์สวิตช์กำลัง, Hz
- $f_{sw,inv}$ คือ ความถี่การสวิตช์ของอินเวอร์เตอร์, Hz
- m_f คือ ความถี่การมีดัดแปลงชั้นอินเต็กซ์ (f_{cr}/f_m)
- m_a คือ มีดัดแปลงชั้นอินเต็กซ์
- m คือ ระดับแรงดัน, Level



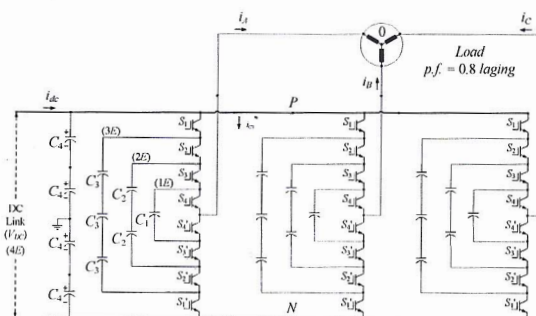
รูปที่ 3 ตัวอย่างพื้นที่บล็อกวิเอ็มชนิดเลื่อนระดับแบบหลายแคนเรียร์ ในการสร้างสัญญาณขั้บนำสวิตช์กำลัง

4. ผลการจำลอง

แบบจำลองทางไฟฟ้าที่ใช้ในการจำลองเปรียบเทียบสมรรถนะการทำงานระหว่างอินเวอร์เตอร์ชนิด DCI และตั้งรูปที่ 4 และชนิด FCI และตั้งรูปที่ 5 ด้วยเทคนิคการพื้นที่บล็อกวิเอ็มชนิดเลื่อนระดับหลายแคนเรียร์แบบเฟสตรงกัน ได้กำหนดเดือนการทำงานดังแสดงในตารางที่ 1



รูปที่ 4 แบบจำลองทางไฟฟ้าอินเวอร์เตอร์ชนิด DCI



รูปที่ 5 แบบจำลองทางไฟฟ้าอินเวอร์เตอร์ชนิด FCI

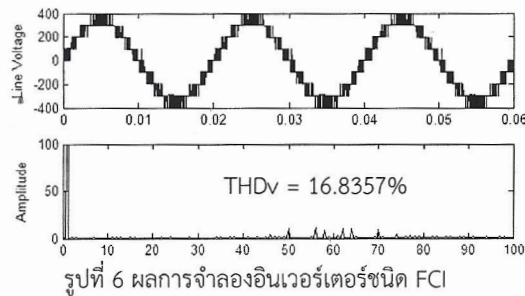
ตารางที่ 1 กำหนดการทำงานของอินเวอร์เตอร์

พารามิเตอร์	ปริมาณ
แรงดันดีซีลิ๊งค์	400 V
ความถี่ของสัญญาณด้านออก	50 Hz
อัตราส่วนความถี่แครีบเบอร์ต่อสัญญาณมูลฐาน	60
ความถี่สัญญาณแครีบเบอร์	3 kHz
มอตดูเลตชันอินเด็กซ์	1.0
ตัวเก็บประจุ	4,700 μ F
โหลดตัวต้านทานต่อไฟสี	40 Ω
โหลดตัวเหนี่ยวนำต่อไฟสี	0.0955 mH
ตัวประกบกำลัง	0.8 lagging

4.1 การจำลองด้านคุณภาพของแรงดันทางด้านออก เมื่อนำผลการจำลองทางด้านออกของอินเวอร์เตอร์ทั้ง 2 ชนิด มาทำการคำนวณโดยพิจารณาาร์มอนิกส์ถึงอันดับที่ 100th รูปที่ 6 แสดงผลการจำลองที่ได้จากอินเวอร์เตอร์ชนิด DCI ส่วนรูปที่ 7 แสดงผลการจำลองที่ได้จากอินเวอร์เตอร์ชนิด FCI ซึ่งผลที่ได้อินเวอร์เตอร์ทั้ง 2 ชนิดให้ผลที่คล้ายกันมาก เมื่อนำผลการจำลองในทุกค่ามอตดูเลตชันอินเด็กซ์แต่ 0.1 ถึง 1.0 นำมาสรุปรวมเพื่อกราฟเปรียบเทียบกัน ดังแสดงในรูปที่ 8 จะเห็นได้ว่าอินเวอร์เตอร์ชนิด FCI และชนิด DCI ให้ผล %THDv คือสอดคล้องกันตลอดย่านการมอตดูเลต

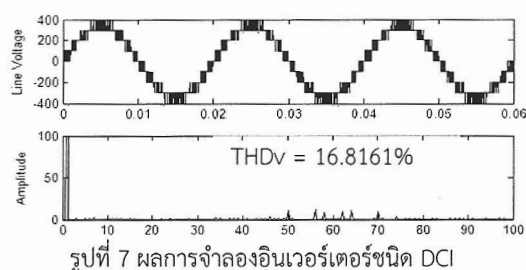
4.2 การจำลองการรักษาสมดุลพลังงานที่ตัวเก็บประจุ

การจำลองสมรรถนะด้านการรักษาสมดุลด้านพลังงาน ที่ตัวเก็บประจุ โดยการนำผลของแรงดันและการกระแสที่ตัวเก็บประจุแต่ละลูกมาทำการวิเคราะห์ แล้วนำมาพล็อตกราฟ ในรูปที่ 9-10 แสดงผลการจำลองของระดับพลังงานที่ตัวเก็บประจุซึ่ง อินเวอร์เตอร์ทั้ง 2 ชนิดไม่สามารถรักษาสมดุลพลังงานที่ตัวเก็บประจุได้ มีเพียงอินเวอร์เตอร์ชนิดฟลายอิ้งค่าปานกลางเท่านั้นที่มี โอกาสในการปรับปรุงเทคนิคการสวิตช์ได้ เนื่องด้วยลักษณะ ทางด้านโครงสร้างของแบบจำลองทางไฟฟ้ามีความหมายหุ่นยนต์ ตัวในการเลือกรูปแบบการสวิตช์กำลังได้หลากหลาย



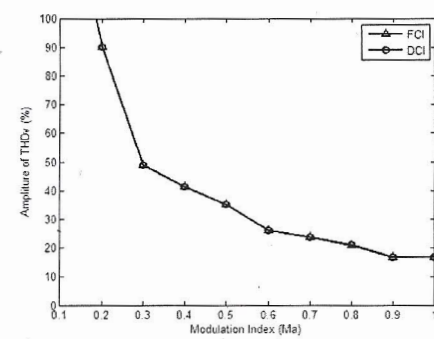
รูปที่ 6 ผลการจำลองอินเวอร์เตอร์ชนิด FCI

$$(m_f = 60, m_a = 1.0, f_m = 50\text{Hz}, f_{cr} = 3\text{kHz}, f_{sw}, dev = 750\text{Hz})$$

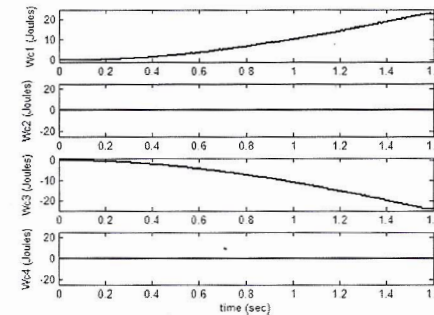


รูปที่ 7 ผลการจำลองอินเวอร์เตอร์ชนิด DCI

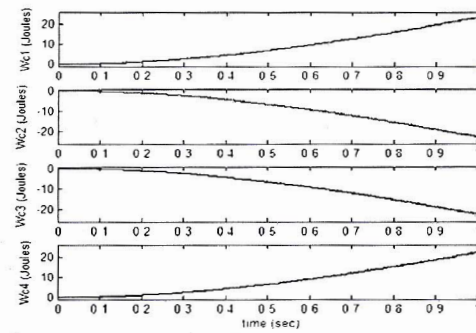
$$(m_f = 60, m_a = 1.0, f_m = 50\text{Hz}, f_{cr} = 3\text{kHz}, f_{sw}, dev = 750\text{Hz})$$



รูปที่ 8 สรุปผล %THDv ที่มอตดูเลตชันอินเด็กซ์ค่าต่างๆ



รูปที่ 9 ระดับพลังงานที่ตัวเก็บประจุแต่ละตัวของอินเวอร์เตอร์ ชนิด FCI ขณะทำงานที่ $m_f = 60$, $m_a = 1.0$



รูปที่ 10 ระดับพลังงานที่ตัวเก็บประจุแต่ละตัวของอินเวอร์เตอร์ ชนิด DCI ขณะทำงาน $m_f = 60$, $m_a = 1.0$

5. สรุป

จากผลการจำลองประเด็นสำคัญทางด้านการรักษาสมดุลพลังงานที่ตัวเก็บประจุนั้น มีเพียงอินเวอร์เตอร์ชนิดพลาຍอิงค้าป่าซิสเตอร์ (Flying capacitor inverter: FCI) สามารถรักษาสมดุลระดับพลังงานที่ตัวเก็บประจุได้ โดยจะต้องปรับปรุงสัญญาณขับนำสวิตซ์กำลัง ด้วยเทคนิคการหมุนวนสัญญาณเกต (Plus rotation) [5] อย่างไรก็ตามจากการวิจัยก่อนหน้านี้ยังพบการกระเพื่อมของแรงดันในทุกช่วง 4 ไข่คิลิของสัญญาณมูลฐาน ในแม่ของคุณภาพของแรงดันด้านออกพbuffวอินเวอร์เตอร์ท่อห้อง 2 ชนิดให้ %THDv ที่เพิ่มขึ้นกับลดลงช่วงการมอดดูเลต และด้วยคุณสมบัติของอินเวอร์เตอร์ตามที่นำเสนอในบทความเข้าดัน แรงดันด้านออกมีความใกล้เคียงไข่น แรงดันที่ถูกสร้างขึ้นจะมีความผิดเพี้ยนน้อย และ dv/dt ต่ำ กระแสด้านออกจะมีความผิดเพี้ยนน้อยตามด้วย และแรงดันตกคร่อมที่สวิตซ์กำลังแต่ละตัวมีค่าต่ำ เป็นผลมาจากการนำสวิตซ์กำลังหลายตัวมาต่ออนุกรมกับส่งผลให้กำลังงานสูญเสียที่เกิดขึ้นกับสวิตซ์กำลังลดต่ำลง จึงส่งผลให้ประหยัดพลังงานมากขึ้น โดยที่อินเวอร์เตอร์ยังคงประสิทธิภาพในขณะทำงานไว้ได้

6. เอกสารอ้างอิง

- [1] Bin Wu. (2006) High-Power Converters and ac Drives. The Institute of Electrical and Electronics Engineering, Inc., pp.127-136.
- [2] F. Zheng Peng, J. Rodriguez, and J. Sheng Lai. (2002) "Multilevel Inverter," A Survey of Topologies, Control and Application, IEEE Trans. Ind. Applicat., Vol. 49, No. 4, August 2002.
- [3] L. Tolbert, F.-Z. Peng, and T. Habetler. (1999). Multilevel converter for large electric drives. IEEE Trans. Ind. Applicat., vol. 35, pp. 36-44, Jan./Feb. 1999.
- [4] S. Ketsakoon, S. Polmai. (2007). Comparison between phase- and level-shifted PWM schemes for flying capacitor multilevel inverter, The 2007 ECTI International Conference (ECTI-CON2007), Mae Fah Luang University, Chiang rai, Thailand.
- [5] สกิตย์พร เกตุสุกุล วรรณวิมล ยอดเจริญ และสมภพ ผลไม้ (2551). การเบรี่ยบเทียบสมรรถนะระหว่างเทคนิคพิธีดับคลิวอิมเมืองแบบเลื่อนเฟส และแบบเลื่อนระดับชนิดพลาຍอิงค้าป่าซิสเตอร์, การประชุมวิชาการทางวิศวกรรมไฟฟ้า ครั้งที่ 31 (EECON-31), จังหวัดนครนายก